



# Preparación de un sistema de transfección de siRNA basado en rHDL para células positivas al receptor SR-B1

Paredes Hernández U<sup>1</sup>, Aranda Lara L<sup>2</sup>, Issac Olivé K<sup>2</sup>, Morales Avila E<sup>3</sup>, Cuero Antolin C N<sup>2</sup>, Gomez Romero E D<sup>3</sup>.

<sup>1</sup> Maestría en Física Médica, Facultad de Medicina, Universidad Autónoma del Estado de México, Toluca 50180, México;

<sup>2</sup> Facultad de Medicina, Universidad Autónoma del Estado de México, Toluca 50180, México;

<sup>3</sup> Facultad de Química, Universidad Autónoma del Estado de México, Toluca 50180, México.

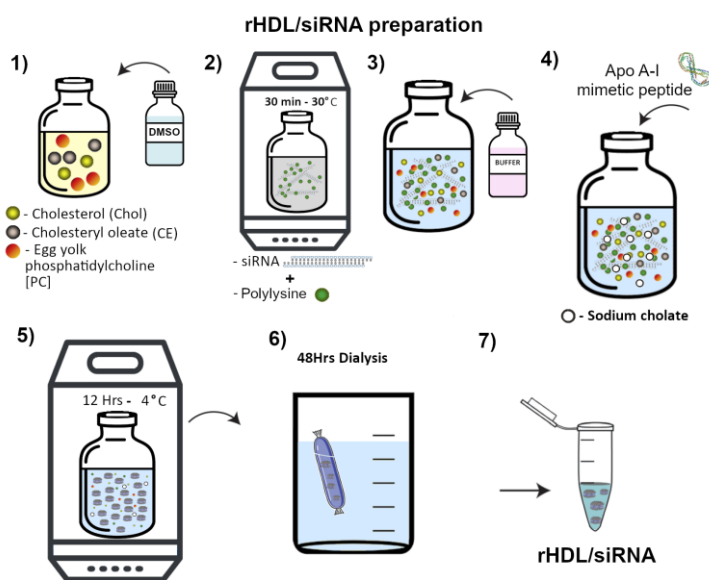
Link de reunión: <https://meet.google.com/gpt-fddv-azv>

## 1. Introducción

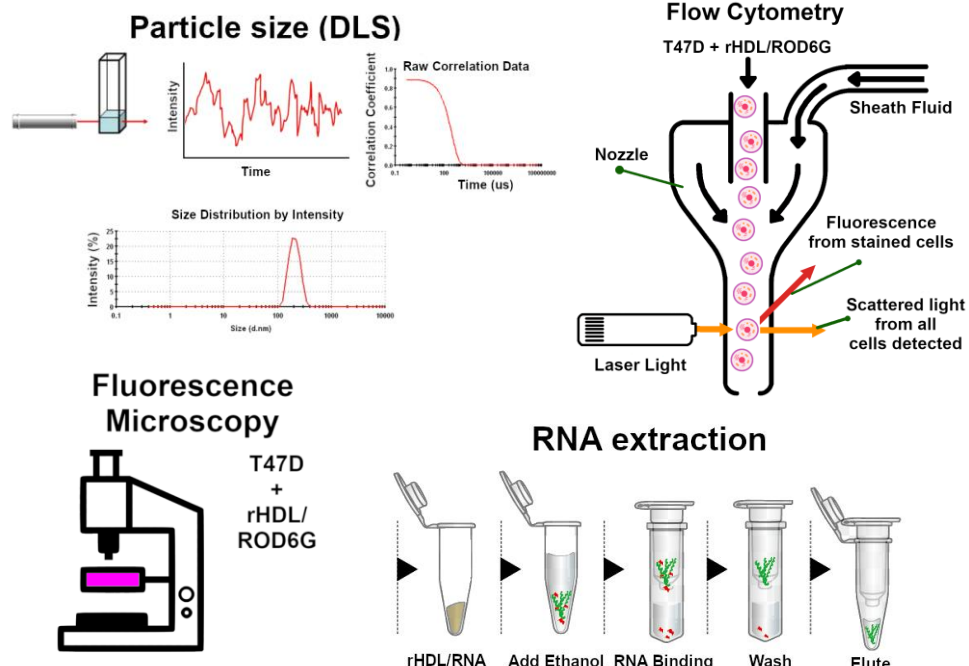
Una forma de aumentar la sensibilidad a tratamientos quimio o radioterapéuticos es mediante siRNA [1,2]. Estos pueden suprimir la expresión de genes relacionados con la resistencia a tratamientos [3,4]. Los siRNA son inestables en los fluidos biológicos y presentan una captación celular deficiente [5,6]. Las lipoproteínas de alta densidad reconstituidas (rHDL) son considerados como un sistema de transporte de fármacos que reconocen de manera específica al SR-B1, el cual está sobreexpresado en células de cáncer [7,8]. En este trabajo se preparó y caracterizó un sistema de transfección de siRNA basado en rHDL.

## 2. Metodología

### 2.1. Preparación

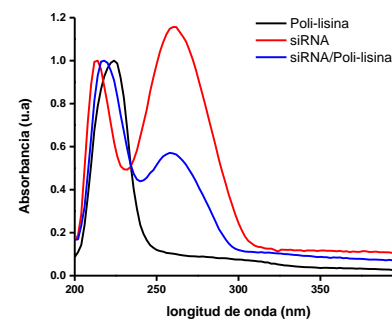


### 2.2. Caracterización

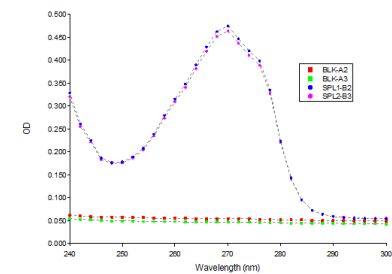


## 3. Resultados

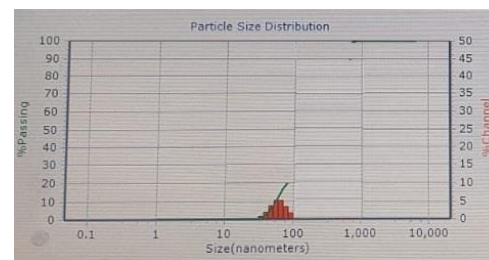
### 3.1. complejo siRNA/poli-lisina



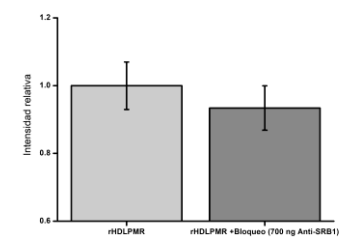
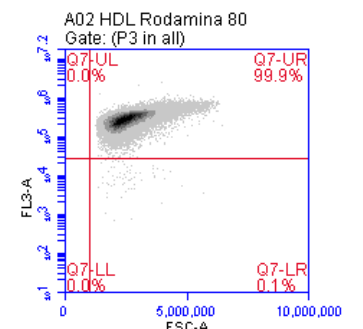
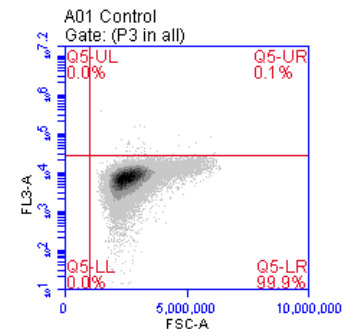
### 3.3. Extracción de RNA



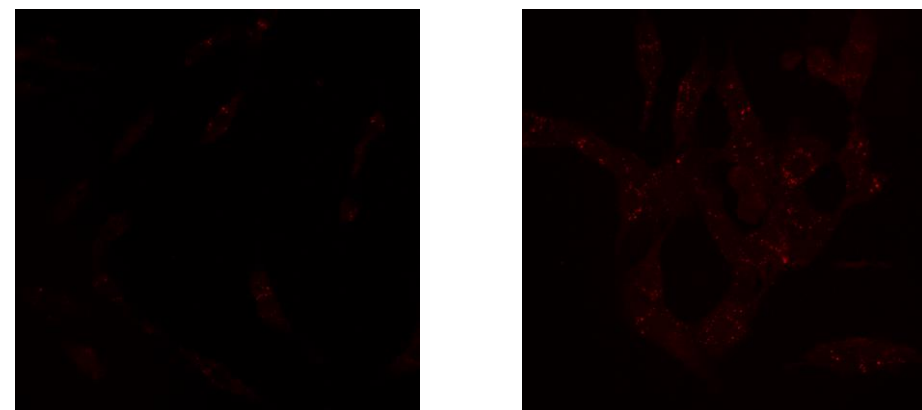
### 3.2. Tamaño de Partícula



### 3.5. Citometría de Flujo



### 3.4. Microscopia de Fluorescencia



## 4. Conclusión

Se preparó y caracterizó un sistema de transfección de siRNA basado en rHDL para células positivas al receptor SR-B1.

## 5. Bibliografía

- [1] DOI: 10.1016/j.febslet.2013.08.030
- [2] DOI: 10.1016/j.gde.2021.08.005
- [3] DOI: 10.1016/j.ijbiomac.2020.10.198
- [4] DOI: 10.1016/j.actbio.2021.08.042
- [5] DOI: 10.1016/j.msec.2020.111847
- [6] DOI: 10.2147/IJN.S200253
- [7] DOI: 10.1016/j.nano.2016.05.009
- [8] DOI: 10.1016/j.biomaterials.2012.08.057